

ОГЛЯД ЛІТЕРАТУРИ

В.Ю. Кундін

Національний медичний
університет
ім. О.О. Богомольця,
м. Київ

Характеристика основних радіофармпрепаратів для дослідження нирок: сучасний стан та перспективи

Characteristics of main radiopharmaceuticals
for kidney study: present state and prospects

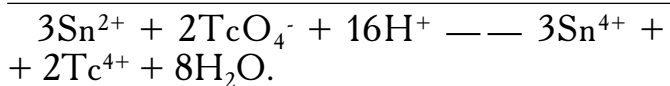
Для радіонуклідних досліджень нирок використовують декілька основних радіофармпрепаратів (РФП). Багаторічний досвід їх застосування засвідчив достатню надійність та відносну безпеку цих РФП [1–3]. При діагностиці захворювань нирок вибір препаратів має визначатися механізмом їх елімінації, нозологічною формою захворювання, характером та тяжкістю патологічного процесу. За механізмом елімінації РФП поділяють на препарати швидкої (канальцеві, клубочкові) та тривалої елімінації (кіркової фіксації) [4–6]. Така класифікація дещо умовна, оскільки більшість РФП мають змішаний тип виведення та різні механізми фіксації в нирках [7–9].

Пошук радіофармпрепарату, найбільш придатного для дослідження нирок, розпочався в 50-х роках ХХ століття. Перші нефротропні РФП походять від рентгеноконтрастних речовин (дийодтраstu, тріомбрину), мічених радіонуклідом ^{131}I [10, 11], активно використовуваних наприкінці 60-х років. Згодом завдяки синтезу гіпурану- ^{131}I та $^{99\text{m}}\text{Tc}$ -ДТПО проблему придатності та безпеки РФП на деякий час було розв'язано [12–14]. У 70-ті роки, при введенні в практику радіології сцинтиграфії, змінилися підходи та методологія досліджень і згодом були визначені основні недоліки гіпурану- ^{131}I . Такі дослідження потребували, насамперед, більшої активності РФП та обов'язкової триденної підготовки хворих. Недотримання останньої умови призводило до опромінювання щитоподібної залози, що обмежувало використання та повторення таких до-

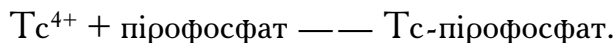
сліджень у дитячій уронефрології. При застосуванні гіпурану- ^{131}I неможливо було провести ангіографію нирок [15, 16].

З появою $^{99}\text{Mo}/^{99\text{m}}\text{Tc}$ -генераторів зусилля радіологів зосередилися на розробці РФП на основі коротковічного $^{99\text{m}}\text{Tc}$ [1, 17]. Така розробка нових РФП проводилася з використанням комплексонів (хелатних сполук). Хелати — це комплексні сполуки з полідентатними лігандаами, які утворюють у структурі цикли — замкнуті групи атомів із комплексоутворювачем [18]. За координаційною теорією Вагнера, така комплексна сполука складається з центрального атома (йон металу) та координованих (розташованих) навколо молекул чи йонів (лігандів) [19]. Ліганди — це нейтральні молекули або аніони, скординовані навколо центрального атома [20]. Центральним атомом у РФП на основі хелатних сполук є іон $^{99\text{m}}\text{Tc}$.

Хемічна формула $^{99\text{m}}\text{Tc}$ -пертехнетату — TcO_4^- . Цей аніон має повний заряд - 1, а число окиснення Tc дорівнює +7. Хелувальні агенти є також аніонами з негативним зарядом. Негативні заряди хелувальних агентів та TcO_4^- відштовхують один одного і в таких умовах утворення хелатної сполуки є неможливим. Тому для проведення реакції потрібен відновлювач, щоб конвертувати $^{99\text{m}}\text{Tc}$ в електропозитивну катіонну форму, спроможну закріплюватися з хелувальними агентами. Для цього використовується SnCl_2 в наборах для виготовлення РФП. Одним із найпотужніших відновлювачів є Sn . При взаємодії SnCl_2 з $\text{TcO}_4^- \text{Tc}^{7+}$ перетворюється на Tc^{4+} .



Така катіонна форма технечію вже спроможна утворювати хелатні сполуки. Так, наприклад, синтез Тс-пірофосфату відбувається за такою схемою:



Виготовлені в такий спосіб молекули хелатних сполук практично не зазнають розщеплення чи інших змін у біологічних середовищах організму. Комплексони малотоксичні, не розчиняються в ліпідах, добре розчиняються у воді і не проникають крізь клітинні мембрани [21]. Основні біологічні властивості комплексонів при введенні їх в організм такі: вони не секретуються епітелієм кишок; циркулюють у неклітинному просторі; виводяться через нирки; нетоксичні [21]. Комплексні хелатні сполуки стали на тривалий період найперспективнішими для стійкого закріплення радіоактивної мітки ^{99m}Tc .

За 10–15 років були синтезовані кілька препаратів. Ранні технечієві агенти для дослідження нирок ^{99m}Tc -CO2DADS та ^{99m}Tc -РАHIDA продемонстрували перспективність обраного напрямку в оцінці каналцевих процесів і визначені ефективного ниркового плазмотоку (ЕНП), однак через гірші, порівняно з гіпураном, фармакодинамічні характеристики ці РФП не знайшли широкого застосування [22].

Наступним етапом стала розробка тріаміду класу меркаптиду хелатних комплексів. У 1984 році був синтезований та випробуваний ^{99m}Tc -MAG3 (меркаптоацетилтригліцин) [1, 23]. У 1990 році при випробуваннях ^{99m}Tc -EC (етилендицистеїну) як нового агента для визначення мозкової перфузії була відзначена його швидка елімінація через нирки, що дозволило запропонувати ^{99m}Tc -EC як РФП для їх дослідження [24–26]. На наступному етапі вивчали фармакодинамічні властивості різних стереоізомерів ^{99m}Tc -MAG3 та ^{99m}Tc -EC [27, 28].

Таким чином, на даний час до РФП з каналцевим механізмом елімінації, використовуваних у практиці радіонуклідної діагностики, належать гіпуран- ^{131}I , гіпуран- ^{123}I , ^{99m}Tc -MAG3 та ^{99m}Tc -EC. Клубочковий механізм елімінації мають ^{51}Cr -ЕДТО, ^{99m}Tc -ЕДТО, ^{99m}Tc -ДТПО, ^{99m}Tc -фосфати,

^{113m}In -ДТПО (пентаінд). Використання клубочкових РФП почалося з ^{169}Yb -ЕДТО, ^{99m}Tc -ЕДТО та ^{51}Cr -ЕДТО [29]. В 1970 році із введенням у практику радіонуклідної діагностики ^{99m}Tc -ДТПО проблему досліджень стану клубочкової фільтрації було на тривалий час розв'язано [2, 12–14]. Незважаючи на численні недоліки ^{99m}Tc -ДТПО, гідного йому аналога досі не знайдено. В 80-х роках також проводили вивчення ^{99m}Tc -фосфатних сполук при багатоцільових сцинтиграфічних дослідженнях. Була показана придатність таких сполук для визначення швидкості клубочкової фільтрації (ШКФ) та екскреторної здатності нирок, доведена висока діагностична значущість фосфатів при піөлонефрітах (визначення активності запальних змін у нирках) [30, 31].

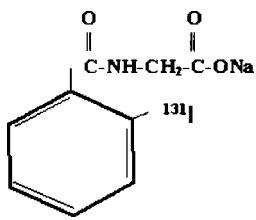
За останні 10–15 років значного поширення набули інші методи візуалізації внутрішніх органів: УЗД, КТ, МРТ. Зважаючи на основну методологію візуалізації внутрішніх органів, європейські радіологи активно вивчали та удосконалювали методику статичної планарної та ОФЕКТ-сцинтиграфії нирок з ^{99m}Tc -ДМСО [32]. Численні дослідження показали високу діагностичну значущість препарату та сумісність підходів до оцінки результатів комплексу променевих методів діагностики [33–36]. Аналогічний ^{99m}Tc -ДМСО механізм фіксації в нирках мають також ^{197}Hg -промеран та ^{99m}Tc -глюкогептонат, які вважають нефротропними. Вони рівномірно розподіляються в паренхімі нирок і повільно виводяться протягом кількох діб. Механізми фіксації нефротропних РФП у паренхімі нирок різні, але їх спільною характеристикою є затримка препаратів в елементах нефрону, які функціонують нормально [37]. Основні параметри оцінки їх якості такі: відсоток фіксації РФП у нирках та швидкість очищення від РФП крові й тканин організму [38–40].

Розглянемо детальніше характеристики основних РФП для дослідження нирок та перспективні напрямки розробки нових препаратів.

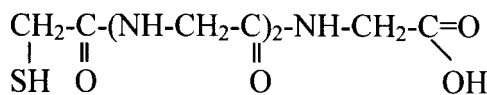
Характеристика РФП із каналцевим механізмом елімінації

Хемічні формули основних РФП для дослідження нирок наведені на рисунку.

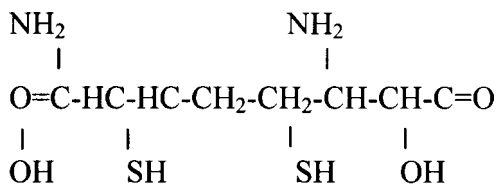
Канальцеві РФП



Гіпуран

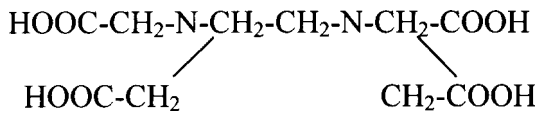


Меркаптоацетилтригліцин

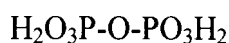


Етилендицистеїн

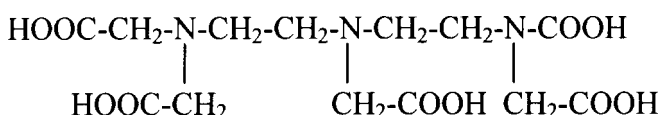
Клубочкові РФП



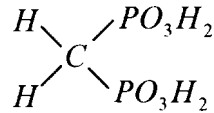
Етилендіамінотетраоцет



Пірофосфат

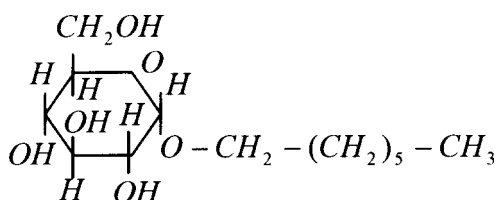


Діетилентриамінопентаоцет

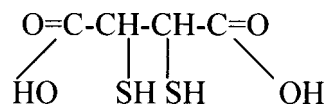


Метилендифосфонат

РФП кіркової фіксації



Глюкогептонат



Диметиленсукицинат

Хемічні формули основних РФП для дослідження нирок

Ортойодогіпуран-¹³¹I (ОІГ-¹³¹I) широко застосовують у клінічній практиці для радіонуклідної ренографії та динамічної реносцинтиграфії [2, 3, 41]. Використовують ОІГ-¹³¹I з 1963 року [42]. Гіпуран — це натрієва сіль ортойодогіпурової кислоти, в якій атом ¹³¹I перебуває в ортоположенні відносно першого замісника в бензйному кільці. Нерадіоактивний гіпуран відомий як рентгеноконтрастна речо-

вина для екскреторної урографії [31]. Молекула гіпурану містить 38,5 % йоду. Після внутрівенного введення 60 % ОІГ-¹³¹I зв'язується з білками плазми крові [43, 44]. В подальшому 80 % РФП елімінується завдяки тубуллярній секреції, а 20 % — клубочковій фільтрації [2, 42]. Ренальний кліренс ОІГ дорівнює 600 мл/хв. Йому властивавища екстракційна ниркова здатність, ніж клубочко-

вим РФП, він забезпечує кращу візуалізацію нирок, навіть при їх порушеній функції [40]. Через 30 хв після внутрівенного введення 75 % ОІГ виводиться до сечового міхура, а через 48 год. у сечі вже не виявляють його слідів. Недоліком препарату є опромінювання щитоподібної залози (запобігають прийомом калію перхлорату або розчину Люголя) та елімінація 3–5 % РФП через гепатобіліарну систему при порушеннях функціях нирок [11, 40]. Активність РФП на одне дослідження в середньому для дорослих складає 0,3–0,45 МБк/кг (8–12 мКі/кг); у дітей — 0,11 МБк/кг (3 мКі/кг). Мінімальна активність — 0,9 МБк (25 мКі) [40]. Фірми-виробники: «Polatom» (Польща), «Радіопрепарат» (Узбекистан), «Диамед» (Росія); «Amersham» (Англія).

Ортоіодогіпуран-¹²³I має переваги перед ОІГ-¹³¹I при дослідженні нирок, особливо в дитячій урології та нефрології [1–3]. Застосовують ОІГ-¹²³I у клінічній практиці для радіонуклідної ренографії та динамічної рено-сцинтиграфії [4, 6]; ¹²³I є чистим гамма-випромінювачем. Завдяки цьому і малому періоду піврозпаду (13 год.) ОІГ-¹²³I створює менше променеве навантаження на організм порівняно з ОІГ-¹³¹I [2, 3]. Фармакокінетика та фармакодинаміка ОІГ-¹²³I подібні до таких ОІГ-¹³¹I [44]. Якість сцинтиграфічних зображень з ОІГ-¹²³I вища, ніж із ОІГ-¹³¹I та ^{99m}Tc-ДТПО [44]. Однак отримання ¹²³I коштує дорого, потребує наявності циклотрона і є практично недоступним для нашої радіологічної служби [2, 3]. Активність РФП на одне дослідження в середньому для дорослих становить 0,2–0,3 МБк/кг (5–8 мКі/кг); у дітей — 0,1 МБк/кг (2,5 мКі/кг). Мінімальна активність — 0,9 МБк (25 мКі) [40].

^{99m}Tc-MAG3 (Mertiatide) (S-бензоїльмеркапто-ацетилтригліцин) — це органічний похідний сірководню (H_2S), який містить вуглеводний радикал, пов’язаний із сульфгідрильною групою — SH. Препарат має три стереоізомери: MAG3, ортоізомер MAG2-ABA (амінобензоат) та метаізомер MAG2-ρASA (аміносаліцилат). Метаболічні характеристики орто- та метаізомерів менш бажані через наявність у молекулах груп $-SO_3-$ і $-PO_3-$. Для оцінки канальцевої секреції привабли-

вішим є ізомер MAG3 з наасичною аніонною групою карбоксилу [27, 45]. Використовують MAG3 для ренографії, радіонуклідної ангіографії нирок, динамічної сцинтиграфії та ОФЕКТ у пацієнтів із патологією сечової системи [36, 46, 47]. Він дозволяє оцінити анатомо-топографічні особливості нирок [48], їх функцію в сумі та окремо [49–51], прохідність верхніх сечових шляхів [42, 52]. Синтезовано ^{99m}Tc-MAG3 у 1984 році як альтернативний аналог ОІГ-¹³¹I [53, 54]. Приготування ^{99m}Tc-MAG3 нескладне, через 10 хвилин після ін’єкції 98 % реагенту зв’язується з радіоактивною міткою [55–57]. Ренальний кліренс ^{99m}Tc-MAG3 складає 340–400 мл/хв (56–60 % від ренального кліренсу ОІГ) [53, 58–60]. Після внутрівенного введення MAG3 швидко залишає кровоносне русло, екскретуючись з видими канальцями нирок (98 % РФП елімінуються канальцевою секрецією і тільки 2 % фільтруються) [42, 61]. У крові ^{99m}Tc-MAG3 на 80 % зв’язується з білками плазми [42, 62]. Його максимальне накопичення в нирках досягається через 3–4 хв після ін’єкції і в середньому складає 25 % від уведеної кількості. Період піввиведення препарату — 6–8 хв. Через 2 год. 90 % його виводиться в сечовий міхур [42]. Якість зображень з ^{99m}Tc-MAG3 краща, ніж при застосуванні ОІГ-¹³¹I та ^{99m}Tc-ДТПО. Це надто важливо при порушеннях функціях нирок. Однак якість зображень із ^{99m}Tc-MAG3 поступається такій при використанні ОІГ-¹²³I [44]. Основним недоліком MAG3 є фіксація 6 % препарату в печінці та жовчному міхурі в перші хвилини після введення у пацієнтів зі значним порушенням функції нирок і наявністю хронічної ниркової недостатності [63–65]. У пацієнтів без порушень функції нирок фіксація в гепатобіліарній системі не перевищує 2 % [65, 66]. Активність РФП на одне дослідження для дорослих — 185–370 МБк (5–10 мКі), для дітей — 1–2,5 МБк/кг (27–67 мКі/кг). Мінімальна активність — 18,5–37 МБк (0,5–1 мКі) [40, 67–70]. Фірми-виробники препаратів: «Технемаг» — «Диамед» (Росія), «Technescan MAG3» — «Mallincrodt» (Голландія).

$^{99m}\text{Tc}-\text{EC}$ (етилендицистеїн) був синтезований у 1990 році [26]. Це похідний етилену ($\text{CH}_2=\text{CH}_2$) та тіолоамінокислоти — цистеїну (α -аміно- β -тіопропіонової кислоти). Препаратор має три стереоізомери $^{99m}\text{Tc}-\text{LL-EC}$, $^{99m}\text{Tc}-\text{DD-EC}$ та $^{99m}\text{Tc}-\text{DL-EC}$ [71, 72], які є нирковими агентами. Найбільш бажані характеристики має стереоізомер $^{99m}\text{Tc}-\text{LL-EC}$ [73]. Препаратор $^{99m}\text{Tc}-\text{EC}$ — каналцевий РФП, і його екскреторні показники кращі, ніж у $^{99m}\text{Tc-MAG3}$ [73, 74]. На відміну від MAG3, EC не накопичується в печінці й жовчному міхурі [1]. Після введення в кровоносне русло EC на 30–35 % закріплюється білками плазми. Максимум накопичення РФП у нирках спостерігається на 2–3-й хв, а період піввиведення складає 5–7 хв; T_{\max} і $T_{1/2\max}$ ренографічних кривих ОІГ, MAG3 та EC практично однакові ($r=0,95$) [75]. Протягом усього дослідження спостерігається візуалізація сечоводів, що дозволяє використовувати EC як препарат для визначення обтурації і міхурно-сечовидільних рефлюксів [76]. Кліренс крові з EC відповідає значенню 580 мл/хв і середнє відношення кліренсу EC та ОІГ дорівнює $0,73 \pm 0,13$. У межах 1 год. рееструється 70 % РФП у сечовому міхурі [26]. Активність РФП на 1 дослідження у дорослих — 185–370 МБк (5–10 мКі), у дітей — 2–3 МБк/кг (0,054–0,08 мКі/кг). Мінімальна активність — 18,5–37 МБк (0,5–1 мКі) [40, 75–77]. Фірма виробник EC — «Polatom» (Польща).

Характеристика РФП з клубочковим механізмом елімінації

$^{51}\text{Cr}-\text{ЕДТО}$ — препарат клубочкової елімінації, похідний етилендіаміну $\text{NH}_2\text{-CH}_2\text{-CH}_2\text{-NH}_2$ та оцтової кислоти. Скорочена назва — ЕДТО або комплексон II [19, 22]. Це полідентатний лігандр, який утворює стійкі комплексні сполуки (хелати) практично з усіма катіонами металів [20, 21]. Похідний цієї кислоти — дигідрат динатрієвої солі називається трилоном Б, або комплексоном III і використовується для визначення жорсткості води [22]. Існує два аналоги ЕДТО — EDTAH (етилендіамінотетраоцетгідроксамід) та HIDAMH (N-2-гідроксіетил-N-карбоксиметил-амінооцетгідроксамід).

Придатні для визначення стану клубочкової фільтрації, ЕДТО-аналоги менш точні порівняно з ЕДТО [78]. Для визначення ШКФ $^{51}\text{Cr-ЕДТО}$ має більш привабливі фармакодинамічні характеристики, ніж $^{99m}\text{Tc-ДТПО}$. Однак $^{51}\text{Cr-ЕДТО}$ дорого коштує, і використовувати його в сцинтиграфічних дослідженнях недоцільно. Тому препарат застосовують лише при радіонуклідній ренографії. Активність РФП на одне дослідження для дорослих — 0,04 МБк/кг (1 мКі/кг), для дітей — 0,004 МБк/кг (0,1 мКі/кг). Мінімальна активність — 0,5 МБк (2,5 мКі) [2, 31]. Фірми-виробники — «Polatom» (Польща) та «Amersham» (Англія).

$^{99m}\text{Tc-ДТПО}$ — комплекс технечію з пентанатом (CaNa_3 — сіль діетилентриамінпентаоцтової кислоти) [12–14]. Його використовують для визначення анатомо-топографічних особливостей нирок та сечових шляхів [79], ниркової перфузії та гломерулярної фільтрації [80, 81]. Після внутрівенного введення ДТПО виводиться клубочковою фільтрацією, більша частина препарату проникає в екстравезікулярний простір [2]. До 9 % ДТПО зв'язується з білками плазми крові. У здорових осіб через 60 хв настає динамічна рівновага між концентраціями ДТПО в плазмі крові та в неклітинній рідині. Ниркова екстракція ДТПО дорівнює лише 20 %. Це призводить до високих значень тканинного фону. Введення ДТПО має триекспонентний характер: перша експонента — до 12-ї хв (розвавлення комплексу в неклітинному просторі), друга — до 90-ї хв (гломерулярна фільтрація). Третя експонента спостерігається до 15-ї год. (звільнення комплексів, сполучених із плазматичними білками) [82, 83]. За 1 год. системою сечовиділення виводиться 7 %, за 3 год. — 30 %, а за 24 — 90 % від уведеної кількості РФП [84]. Активність препарату на одне дослідження для дорослих — 185–370 МБк (5–10 мКі), для дітей — 1,5–2 МБк/кг (0,05–0,054 мКі/кг). Мінімальна активність — 18,5 МБк (0,5 мКі) [2, 40, 82, 83, 85, 86]. Фірми-виробники препаратів: ДТРА — «Polatom» (Польща), Пентатех — «Диамед» (Росія), ТСК-6 — «CIS» (Франція), Pentatet II — «Amersham» (Англія).

^{99m}Tc -фосфати (пірофосфат, метилендифосфонат, пірфотех, техненфор) Пірофосфат — природний метаболіт організму [87], а метилендифосфонат — похідний метану CH_4 та фосфінової кислоти, до складу якої входить радикал H_2PO_3^- . Остеотропні РФП після введення в організм активно екскретуються нирками. Транспорт фосфатів через нирки обумовлений клубочковою фільтрацією [86, 88]. Максимальна екскреція препарату відбувається в перші 30 хв після ін'єкції [30]. Тому динамічні дослідження в цей період дозволяють отримати зображення нирок і оцінити їх фільтраційно-евакуаторну функцію [89]. За 2 год системою сечовиділення екскретується понад 30 % РФП [88, 90]. Їх активність на одне дослідження для дорослих — 185–370 МБк (5–10 мКі), для дітей — 1,5–2 МБк/кг (0,04–0,054 мКі/кг). Мінімальна активність — 18,5 МБк (0,5 мКі) [88, 90–94]. Фірми-виробники препаратів: MDP, PYRO — «Polatom» (Польща); Пірфотех, Техненфор — «Диамед» (Росія); ТСК-7; ТСК-14 — «CIS» (Франція); Medronate II — «Amersham» (Англія).

РФП з кірковим механізмом фіксації

^{99m}Tc -ДМСО (2,3-димеркарбосукцинатоцтова кислота), похідна тіолів-тіоспиртів (меркаптонів) [95], використовувана для радіонуклідної ангіографії нирок [96], статичної сцинтиграфії та ОФЕКТ у пацієнтів із патологією сечовидільної системи [97–99]. Такі дослідження дозволяють оцінити анатомо-топографічні особливості нирок [100, 101], кількість паренхіми, що функціонує, та відносну ниркову функцію [102–104]. Після внутрівенного введення ДМСО виводиться з крові за двома експонентами: перша — протягом 8 хв (клубочкова фільтрація) та друга — до 9 год. (накопичення в клітинах проксимальних каналців нефрона) [105]. Кров повільно очищується від РФП унаслідок значного зв'язування ДМСО з білками плазми (91 %) [106]. Від 40 до 50 % введеної активності фіксується в нирках через 2 год. [107, 108]. Від 4 до 8 % РФП протягом 1-ї години елімінуються клубочками нирок, а в наступні 3–4 год. — ще близько 15–30 % [109]. Оптимальний час

отримання зображень — 4–6 год. після ін'єкції [110]. За цей час ДМСО фіксується також у печінці (5 %), селезінці (2 %) та кісткових метафізах росту (1,4 %) [111]. Препарат має два стереоізомери: ДМСА (C1) та ДМСА (C2) [112]. Активність РФП на одне дослідження для дорослих — 185 МБк (5 мКі), для дітей — 1,85 МБк/кг (0,05 мКі/кг) [40, 113]. Мінімальна активність — 10,5 МБк (0,3 мКі) [114–116]. Фірми-виробники препаратів: DMSA — «Polatom» (Польща), «Amersham» (Англія), Технемек — «Диамед» (Росія), ТСК-12 — «CIS» (Франція).

^{99m}Tc -глюкогептонат — складний ефір глюкози та спирту гептанолу $\text{CH}_3-(\text{CH}_2)_5-\text{CH}_2\text{OH}$. Глюкогептонат — гетероцикл (речовина, в якій гліказильна частина молекули зв'язана через атом кисню або сірки та азоту з радикалом органічної сполуки, яка не є цукром і називається аглікогеном) [22]. Елімінація РФП складається з двох етапів: гломерулярної фільтрації (80–90 %) та кіркової фіксації (10–20 %) [37, 117]. Оптимальний час отримання зображень ниркової паренхіми 1–2 год. після ін'єкції [38, 40, 118, 119]. Активність РФП на одне дослідження для дорослих — 370–555 МБк (10–15 мКі), для дітей — 2–3,7 МБк/кг (0,05–0,1 мКі/кг). Мінімальна активність — 74 МБк (2 мКі) [40]. Фірми-виробники препаратів: цитратех — «Диамед» (Росія), ТСК-17 — «CIS» (Франція).

Розробка та випробування нових РФП

Протягом останніх 10 років проводився активний пошук нових РФП для дослідження нирок. Серед препаратів з каналцевим механізмом елімінації в літературних джерелах були представлені 4 РФП [120–123]:

^{99m}Tc -САМІ (карбоксиметилізоціанід) має в складі шість карбоксильних груп, які є субстратами рецепторів органічних кислот при трубчастій екскреції препарату. Розглядався як альтернативний аналог ^{99m}Tc -MAG3 [120]. Однак фармакодинамічні характеристики ^{99m}Tc -САМІ були менш привабливими, ніж у ^{99m}Tc -MAG3, тому подальші дослідження не проводилися;

99m Tc-SG (саліцилгліцин). Були проведені дослідження аналогів ортойодогіпурану, мічених 99m Tc (альфа-, орто- та метагідроксигіпуратів, саліцилдигліцину і саліцилтригліцину) [121]. Найбільш привабливі фармакодинамічні параметри виявив ортогідроксигіпурат (саліцилгліцин), який за характеристикими і ступенем фіксації в нирках був подібним до 99m Tc-ДМСО;

99m Tc-HAG3 (гідроксіацетилтригліцин). Аналог MAG3. Фіксація білками плазми в 99m Tc-HAG3 подібна до гіпурану і становить 60 %. На відміну від останнього, має швидшу елімінацію, менший відсоток фіксації в гепатобіліарній системі, просте маркірування технологієм [122];

99m Tc-CYSG3 (цистеїнтригліцин) — похідний від MAG3. У 99m Tc-CYSG3 група меркаптоацетилу замінена на цистеїн; має два стереоізомери: D та L. Фармакодинамічні характеристики цього РФП подібні до 99m Tc-MAG3 [123], що дозволяє пропонувати його до клінічного використання у найближчий час.

Перспективною заміною 99m Tc-ДТПО може бути **99m Tc-BPNA** (N,N -аміноетил пропанедіамін гексаоцтова кислота) [124]. За даними авторів, характеристики цього РФП привабливіші порівняно з 99m Tc-ДТПО, у нього більший відсоток елімінації та двоекспонентний характер екскреції.

Пошук нових РФП тривалої кіркової фіксації проводився з урахуванням основних недоліків 99m Tc-ДМСО та глюкогептонату. Були вивчені характеристики таких препаратів [125–129]:

99m Tc-DIOL (1,2-дигідроксипропіл-1-фосфонова кислота). Максимальна концентрація РФП у нирках відзначалася вже на 5-й хв [125]. Протягом перших 5 хв у сечовому міхурі реєструвалося 12 % РФП, а через 30 хв — 70 %. Протягом 1 год. 6 % 99m Tc-DIOL стійко фіксується в нирках, що дозволяє використовувати цей препарат для відображення ниркової паренхіми. Характеристики 99m Tc-DIOL подібні до таких 99m Tc-глюкогептонату;

99m Tc-2GAM (комплекс бідентату- N , хелату CN (меркаптоацетил) амінооцтової

кислоти) має характеристики, подібні до 99m Tc-ДМСО, але швидшу ниркову фіксацію протягом першої години після ін'єкції. Протягом 2 год. 50 % РФП виводиться до сечового міхура [126]. Недолік: від 2 до 5 % препарату фіксується печінкою;

99m Tc-декстран. Його характеристики подібні до таких у 99m Tc-глюкогептонату. 99m Tc-декстран має дві експоненти виведення: першу — гломерулярну фільтрацію; другу — кіркову фіксацію [127]. Максимальна концентрація в нирках спостерігається через 40–60 хв;

99m Tc-BIG (бігуанід) вважають найбільш перспективною альтернативою 99m Tc-ДМСО [128]. Це хелатний комплекс із 3 основними ізомерами: N1 субстанцією етану (DMBig), фенілу (Pbig) та фенетилу (PEBig) [129]. Вивчення фармакодинамічних властивостей 99m Tc-Big підтвердило його явні ниркові й сечовидільні профілі. Цей РФП має вдвічі більший відсоток фіксації в нирках порівняно з 99m Tc-ДМСО.

Література

1. Moran J.K. // Semin. Nucl. Med. — 1999. — Vol. 29, № 2. — P. 91–101.
2. Романенко В.А. Радіонуклідні методи дослідження сечової системи // Променева діагностика — К.: ОРБІС, 1998. — С. 474–484.
3. Ліндебратен Л.Д., Королюк И.П. Медицинская радиология: Учеб. для студентов медвузов. — М.: Медицина, 2000. — 672 с.
4. Russel C.D., Dubovsky E.V. // J. Nucl. Med. — 1989. — Vol. 30. — P. 2053–2057.
5. Fine E.J., Blaufox M.D. // Am. J. Hypertens. — 1991. — Vol. 4. — P. 716–720.
6. Blaufox M.D., Aurell M., Bubeck B. // J. Nucl. Med. — 1996. — Vol. 37. — P. 1883–1890.
7. Prigent A., Cosgriff P., Gates G.F. et al. // Semin. Nucl. Med. — 1999. — Vol. 29, № 2. — P. 146–159.
8. Piepsz A., Blaufox M.D., Gordon I. et al. // Ibid. — P. 160–174.
9. Blaufox M.D., Aurell M., Bubeck B. et al. // J. Nucl. Med. — 1996. — Vol. 37, № 11. — P. 1883–1890.
10. Френкель В.Х., Кацыф А.М. // Мед. радиол. — 1970. — № 8. — С. 30–34.
11. Георгеску Б., Браслэ И. Радиоизотопная диагностика в клинике. — Бухарест: Меридиане, 1967. — С. 243–264.
12. Hauser W., Atkins H.L., Nelson K.G. // Radiol. — 1970. — Vol. 94. — P. 679.
13. Kircher P.T., James A.E., Reba R.C., Wagner N.H. // Ibid. — 1970. — Vol. 114. — P. 655.
14. Brookman V.A., Williams C.M. // J. Nucl. Med. — 1975. — Vol. 11. — P. 234.
15. Mandell G.A., Eggli D.F., Gilday D.L. et al. // Ibid. — 1997. — Vol. 40. — P. 1650–1654.
16. O'Reilly P., Ayrell M., Britton K. et al. // Ibid. — 1996. — Vol. 37. — P. 1872–1876.
17. Bormans G., Cleynhens B., Jose D. et al. // Int. J. Rad. Appl. Instrum. B. — 1990. — Vol. 17, № 5. — P. 499–506.
18. Васильев В.П. // Соров. образоват. журн. — 1996. — № 4. — С. 39–44.

19. Лидин Р.А., Молочко В.А., Андреева Л.Л. Химические свойства неорганических веществ: Учеб. пособие для вузов. — 2-е изд. — М.: Химия, 1997. — 480 с.
20. Степин Б.Д., Цветков А.А. Неорганическая химия: учеб. для хим. и хим.-технол. спец. вузов. — М.: Высш. шк., 1994. — 608 с.
21. Зеленин К.Н. Химия: Учеб. для мед. вузов. — СПб.: Спец. лит-ра, 1997.
22. Eshima D., Taylor A. Jr. // Semin. Nucl. Med. — 1992. — Vol. 22, № 2. — P. 61–73.
23. Bubeck B., Brandau W., Weber E. et al. // J. Nucl. Med. — 1990. — Vol. 31, № 8. — P. 1285–1293.
24. Verbruggen Am., Nosco Dl., Van Nerom Cg. et al. // Ibid. — 1992. — Vol. 33, № 4. — P. 551–557.
25. Van Nerom Cg., Bormans Gm., De Roo Mj. // Eur. J. Nucl. Med. — 1993. — Vol. 20, № 9. — P. 738–746.
26. Kabasakal L. // Ibid. — 2000. — Vol. 27, № 3. — P. 351–357.
27. Lipowska M., Hansen L., Xu X. et al. // Inorg. Chem. — 2002. — Vol. 41. — P. 3032–3041.
28. Echima D., Echima L., Hansen L. et al. // J. Nucl. Med. — 2000. — Vol. 12. — P. 2077–2082.
29. Каюков И.Г., Эмануэль В.Л., Юшкевич Г.А. // Урол. и нефрол. — 1985. — № 6. — С. 58–61.
30. Синюта Б.Ф. // УРЖ. — 1999. — Т. XVII, вып. 4. — С. 465–468.
31. Применение радиоактивных нуклидов в клинических исследованиях / Под ред. Р.И. Габуния. — М.: Атомиздат, 1979. — 264 с.
32. Руководство для врачей, направляющих пациентов на радиологическое исследование: Критерии выбора метода изображения. — Изд. 4-е. — К.: АТ «Мед. Укр.», 2000. — 102 с.
33. De Sadeleer C., Bossuyt A., Goes E., Piepsz A. // J. Nucl. Med. — 1996. — Vol. 37, № 8. — P. 1346–1349.
34. Hervas Benito I., Marti Vidal F.J., Alonso Monfort J. et al. // Rev. Esp. Med. Nucl. — 2001. — Vol. 20, № 7. — P. 517–524.
35. Porn U., Rossmuller B., Alalp S. et al. // Nuklearmed. — 2001. — Vol. 40. — № 4. — P. 107–110.
36. Sfakianakis G.N., Georgiou M.F. // J. Nucl. Med. — 1997. — Vol. 38, № 3. — P. 478–483.
37. Клиническая рентгенорадиология: Рук-во: В 5 т. — Т. 4. Радионуклидная диагностика / Под ред. Г.А. Зедегенидзе / АМН СССР. — М.: Медицина, 1985. — 368 с.
38. Deise Mara M.M., Maria L.G., Rosimeire S.F. et al. // J. of Nucl. Med. Technol. — 2000. — Vol. 28, № 4. — P. 271–274.
39. Rachael Moorin // Ibid. — 2001. — Vol. 29, № 1. — P. 22–29.
40. ACR Standard Book by the Committee on Standards of the Commission on Nuclear Medicine / Renal Scintigraphy, 1999. — P. 481–484.
41. Лопаткин Н.А., Глейзер Ю.Я., Мазо Е.Б. Радиоизотопная диагностика в уронефрологии. — М.: Медицина, 1977. — 320 с.
42. Nordyke R., Tonnchen A. // J. Amer. Med. Assoc. — 1963. — Vol. 183, № 6. — P. 440–445.
43. Itoh K. // Ann. Nucl. Med. — 2001. — Vol. 15, № 3. — P. 179–190.
44. Fukuchi M., Ishimura J., Komatani A. et al. // Hinyokika Kiyo. — 1990. — Vol. 3. — P. 371–382.
45. Hansen L., Marzilli L.G., Eshima D. et al. // J. Nucl. Med. — 1994. — Vol. 35, № 7. — P. 1198–1205.
46. Gordon I., Anderson P.J., Orton M., Evans K. // Ibid. — 1991. — Vol. 32, № 9. — P. 1704–1708.
47. Akahira H., Shirakawa H., Shimoyama H. et al. // J. of Nucl. Med. Technol. — 1999. — Vol. 27, № 1. — P. 32–37.
48. Piepsz A., Tondeur M., Ham H. // J. Nucl. Med. — 1999. — Vol. 40, № 6. — P. 972–976.
49. Shirakawa S., Tamaki N., Torizuka T. et al. // Kaku Igaku. — 1994. — Vol. 31, № 8. — P. 977–983.
50. Akahira H. // Ibid. — 1996. — Vol. 33, № 11. — P. 1227–1237.
51. Westhoff A., Meyer I., Meyer-Lindenberg A. // Dtsch. Tierarztl. Wochenschr. — 1996. — Vol. 103, № 5. — P. 187–192.
52. De Sadeleer C., De Boe V., Keuppens F. et al. // Eur. J. Nucl. Med. — 1994. — Vol. 21, № 3. — P. 223–227.
53. Bubeck B., Brandau W., Weber E. et al. // J. Nucl. Med. — 1990. — Vol. 31, № 8. — P. 1285–1293.
54. Eshima D., Taylor A.Jr. // Semin. Nucl. Med. — 1992. — Vol. 22, № 2. — P. 61–73.
55. Chen F., Decristoforo C., Rohrbacher B., Riccabona G. // Eur. J. Nucl. Med. — 1993. — Vol. 20, № 4. — P. 334–338.
56. Noll B., Johannsen B., Spies H. // Nucl. Med. Biol. — 1995. — Vol. 22, № 8. — P. 1057–1062.
57. Hnatowich D.J., Chang F., Lei K. et al. // Appl. Radiat. Isot. — 1997. — Vol. 48, № 5. — P. 587–594.
58. Lepej J., Svitac J., Kliment J. et al. // Cesk. Pediatr. — 1990. — Vol. 45, № 3. — P. 134–137.
59. Kengen R.A., Meijer S., Beekhuis H., Piers D.A. // J. Nucl. Med. — 1991. — Vol. 32, № 9. — P. 1709–1712.
60. Lythgoe M.F., Gordon I., Anderson P.J. // Eur. J. Nucl. Med. — 1994. — Vol. 21, № 12. — P. 1333–1337.
61. Muller-Suur R., Muller-Suur C. // J. Nucl. Med. — 1989. — Vol. 30, № 12. — P. 1886–1891.
62. Russell C.D., Taylor A., Eshima D. // Ibid. — 1989. — Vol. 30, № 12. — P. 1955–1959.
63. Shattuck L.A., Eshima D., Taylor A.T. et al. // Ibid. — 1994. — Vol. 35, № 2. — P. 349–355.
64. Chatterjee M., Majumder A., Iyer P. et al. // Nucl. Med. Biol. — 1996. — Vol. 23, № 7. — P. 867–872.
65. Alberto J.A., Hassan B.S., Kirk D.M. et al. // J. Nucl. Med. Technology. — 2003. — Vol. 31, № 1. — P. 18–20.
66. Ikekubo K., Hino M., Ito H. et al. // Kaku Igaku. — 1993. — Vol. 30, № 5. — P. 507–516.
67. Torizuka K., Ishibashi A., Ikekubo K. et al. // Ibid. — 1993. — Vol. 30, № 11. — P. 1379–1392.
68. Tabuchi K., Adachi I., Doi K. et al. // Ibid. — 1999. — Vol. 36, № 1. — P. 15–22.
69. TechneScan MAG3 Kit for the Preparation of Technetium ^{99m}Tc-Mertiatide, 1997.
70. Инструкция по приготовлению и применению ТЕХНЕМАГА-99мTс. Приказ МЗ РФ № 128 от 30.04.1997 г.
71. Echima D., Echima L., Hansen L. et al. // J. Nucl. Med. — 2000. — Vol. 12. — P. 2077–2082.
72. Taylor A., Hansen L., Eshima D. et al. // Ibid. — 1997. — Vol. 38, № 5. — P. 821–826.
73. Verbruggen Am., Nosco Dl., Van Nerom Cg. et al. // Ibid. — 1992. — Vol. 33, № 4. — P. 551–557.
74. Van Nerom Cg., Bormans Gm., De Roo Mj., Verbruggen Am. // Eur. J. Nucl. Med. — 1993. — Vol. 20, № 9. — P. 738–746.
75. Kabasakal L., Atay S., Vural V.A. et al. // J. Nucl. Med. — 1995. — Vol. 36, № 8. — P. 1398–1403.
76. Ozker K., Onsel C., Kabasakal L. et al. // Ibid. — 1994. — Vol. 35, № 5. — P. 840–845.
77. Zestaw do otrzymywania kompleksu ^{99m}Tc-EC. Dzial Produkcji Radiofarmaceutykow, 1997.
78. Laznickova A., Laznicek M., Richter R., Kvetina J. // Int. J. Rad. Appl. Instrum. B. — 1989. — Vol. 8. — P. 765–770.
79. Chou Y.H., Hsu C.P. // Urol. Int. — 1991. — Vol. 46, № 2. — P. 126–128.
80. Waller D.G., Fleming J.S., Ramsey B., Gray J. // Postgrad. Med. J. — 1991. — Vol. 67. — P. 42–46.
81. Galli G., Rufini V., Meduri G. et al. // J. Nucl. Biol. Med. — 1994. — Vol. 38, № 4. — P. 556–565.
82. ^{99m}Tc-diethylenetriaminopentaacetic acid – DTPA (TCK-6): Instructions for use of the kit. — CIS international, 1988.
83. Инструкция по приготовлению и применению ПЕНТАТЕХА-^{99m}Tс.: Приказ МЗ СССР № 624 от 25.06.1982 г.
84. Itoh K., Asano Y., Kato C. et al. // Kaku Igaku. — 1990. — Vol. 27, № 3. — P. 237–242.
85. Kit for the preparation of ^{99m}Tc-DTPA. Instruction for use. — Polatom, 1999.
86. Милько В.И., Москаленко Н.И., Багдасарова И.В. и др. // Клин. рентгенол. и радиол. — 1990. — Вып. 21. — С. 83–86.
87. Почки и гомеостаз в норме и при патологии: Пер. с англ. / Под ред. С. Клара. — М.: Медицина, 1987. — 448 с.

88. ^{99m}Tc -Pyrophosphate (Sn) (TCK-7): Instructions for use of the kit. — CIS international, 1987.
89. Байдасарова И.В., Милько В.И., Иванов Д.Д. и др. // Клин. рентгенол. и радиол. — 1991. — Вып. 22. — С. 84–87.
90. ^{99m}Tc -Methylenediphosphonate (Sn) (TCK-14): Instructions for use of the kit. — CIS international, 1987.
91. Kit for the preparation of ^{99m}Tc -Pyrophosphate: Instruction for use. — Polatom, 2000.
92. Kit for the preparation of ^{99m}Tc -MDP: Instruction for use. — Polatom, 2000.
93. Инструкция по приготовлению и применению ТЕХНЕФОРА- ^{99m}Tc . — Приказ МЗ СССР № 931 от 05.08.1987 г.
94. Инструкция по приготовлению и применению ПИРФОТЕК- ^{99m}Tc : Приказ МЗ СССР № 507 от 17.04.1985 г.
95. Kit for the preparation of ^{99m}Tc -DMSA. Instruction for use. — Polatom, 2000.
96. Bunce C.J., Godley M.L., Snell M.E. // Nucl. Med. Com. — 1994. — Vol. 15, № 7. — P. 511–514.
97. De Sadeleer C., Bossuyt A., Goes E., Piepsz A. // J. Nucl. Med. — 1996. — Vol. 37, № 8. — P. 1346–1349.
98. Cooper J.A., McCandless B.K. // J. of Nucl. Med. Technol. — 1999. — Vol. 27. — P. 127–131.
99. Groshar D., Gorenberg M. // J. Nucl. Med. — 1999. — Vol. 40. — P. 56–59.
100. Pusawan P., Reyes L., Gordon I. // Eur. J. Nucl. Med. — 1999. — Vol. 26, № 5. — P. 483–488.
101. Lin E., Connolly L.P., Zurakowski D. et al. // J. Nucl. Med. — 2000. — Vol. 41, № 10. — P. 1632–1635.
102. Prais V., Zakko S., Mrhac L., Parikh Y. // Nucl. Med. Commun. — 1994. — Vol. 15, № 2. — P. 110–113.
103. Durand E., Prigent A. // Eur. J. Nucl. Med. — 2000. — Vol. 27, № 6. — P. 727–730.
104. Porn U., Rossmuller B., Alalp S. et al. // Nuklearmed. — 2001. — Vol. 40. — № 4. — P. 107–110.
105. Maneval D.C., D'Argenio D.Z., Wolf W. // Eur. J. Nucl. Med. — 1990. — Vol. 16, № 1. — P. 29–34.
106. de Lange M.J., Piers D.A., Kosterink J.G. et al. // J. Nucl. Med. — 1989. — Vol. 7. — P. 1219–1223.
107. Koide H., Yonekura Y., Konishi J. // Kaku Igaku. — 1990. — Vol. 2. — P. 139–142.
108. Moorin R. // J. of Nucl. Med. Technol. — 2001. — Vol. 29. — P. 22–29.
109. Muller-Suur R., Gutsche H.U. // J. Nucl. Med. — 1995. — Vol. 9. — P. 1654–1658.
110. Flower M.A., Meller S.T., Chittenden S.J. et al. // Nucl. Med. Commun. — 1995. — Vol. 16, № 7. — P. 572–574.
111. Evans K., Lythgoe M.F., Anderson Pj. et al. // J. Nucl. Med. — 1996. — Vol. 8. — P. 1331–1335.
112. Garcia Domenech R., Abril Mendez O. et al. // Int. J. Rad. Appl. Instrum. [A]. — 1989. — Vol. 40, № 6. — P. 536–538.
113. Morris S.C., Chittenden S.J., Rivens I. et al. // Nucl. Med. Commun. — 1995. — Vol. 16, № 7. — P. 566–571.
114. Инструкция по приготовлению и применению ТЕХНЕМЕК- ^{99m}Tc : Приказ МЗ СССР № 263 от 20.04.1989 г.
115. ^{99m}Tc -DMSA (TCK-12): Instructions for use of the kit. — CIS international, 1987.
116. Kit for the preparation of ^{99m}Tc -DMSA: Instruction for use. — Polatom, 2000.
117. Swanson D.P., Chilton H.M. Pharmaceutical in Nuclear Imaging. — New York, 1990.
118. Robin G.W., Guy H.N. // Eur. J. Nucl. Med. — 1997. — Vol. 24. — P. 557–570.
119. Textbook of Radiopharmacy / Ed. C.D. Sampson, Gordon and Breach Science Publishers, New York, 1994.
120. Verdera S., Lopez J.J., Tagle R. et al. // J. Nucl. Biol. Med. — 1994. — Vol. 4, Suppl 1. — P. 79–85.
121. Fukuoka M., Kiyohara T., Kobayashi T. et al. // Nucl. Med. Biol. — 1995. — Vol. 2. — P. 181–191.
122. Vanbilloen H.P., Dezutter N.A., Cleynhens B.J., Verbruggen A.M. // Eur. J. Nucl. Med. — 1997. — Vol. 24. — P. 1374–1379.
123. Cleynhens B., Adriaens P., Boonen C. et al. // J. Nucl. Biol. Med. — 1994. — Vol. 38, Suppl 1. — P. 69–74.
124. Liu G., Zhang C., Liu F. et al. // Nucl. Med. Biol. — 2002. — Vol. 29. — P. 399–404.
125. Castanheira I., Sawas-Dimopoulou C., Paulo A. et al. // Ibid. — 1993. — Vol. 3. — P. 279–285.
126. Gianolli L., Dosio F., Matarrese M. et al. // Ibid. — 1996. — Vol. 8. — P. 927–933.
127. Bhatnagar A., Singh A.K., Babbar A. et al. // Nucl. Med. Commun. — 1997. — Vol. 6. — P. 562–566.
128. Neves M., Dormehl I., Kilian E. et al. // Nucl. Med. Biol. — 2000. — Vol. 6. — P. 593–597.
129. Neves M., Gano L., Ribeiro M.J. et al. // Ibid. — 1999. — Vol. 1. — P. 79–83.

Надходження до редакції 15.09.2003.

Прийнято 29.09.2003.

Адреса для листування:

Кундін Валерій Юрійович,
НМУ ім. О.О. Богомольця, пр-т Перемоги, 34, Київ,
03057, Україна